

## ナノスケールでキャリア制御された $\text{SrTiO}_3$ の発光機構の解明

### Elucidation of the mechanism of the luminescence in the carrier-doped $\text{SrTiO}_3$ fabricated by the nanoscale technology

寺嶋孝仁<sup>1</sup>、溝田裕久<sup>1</sup>、坂倉周介<sup>1</sup>、大橋浩史<sup>1</sup>、柄尾達紀<sup>1</sup>、  
伊藤嘉昭<sup>1</sup>、Aurel Mihai Vlaicu<sup>2</sup>、吉川英樹<sup>2</sup>、福島 整<sup>2</sup>  
Hitoshi Yamaoka<sup>1</sup>, Hirohisa Mizota<sup>2</sup>, Shuusuke Sakakura<sup>1</sup>, Hirofumi Oohashi<sup>1</sup>, Tatsunori Tochio<sup>1</sup>,  
Yoshiaki Ito<sup>1</sup>, Aurel Mihai Vlaicu<sup>2</sup>, Hideki Yoshikawa<sup>2</sup>, Sei Fukushima<sup>2</sup>

<sup>1</sup>京大化研、<sup>2</sup>物材研はりまオフィス

<sup>1</sup> Institute of Chemical Research, Kyoto University,

<sup>2</sup>Harima Office, National Institute for Materials Science

電子ドープされた $(\text{Sr},\text{La})\text{TiO}_3$  の  $\text{La L}_{\text{III}}$  吸収端付近での共鳴非弾性 X 線散乱測定 (RIXS) 、および蛍光吸収分光測定を行った。比較のため、 $\text{SrTiO}_3$  と  $\text{La}_2\text{O}_3$  に対しても測定を行い、ラマン散乱の領域で La の電子状態の違いが観測された。

We report the first RIXS experiment for  $(\text{Sr},\text{La})\text{TiO}_3$  together with partial fluorescence yield (PFY) measurement performed at the SPring-8 BL15XU beamline by using a high-resolution double crystal spectrometer. The PFY spectrum gives the high-resolution XAS. The same experiment for  $\text{La}_2\text{O}_3$  was also performed for a comparison. We measured  $\text{La L}\alpha_1$  and  $\text{L}\alpha_2$  in the RIXS as a function of incident photon energies. The results of the RIXS spectra of  $(\text{Sr},\text{La})\text{TiO}_3$  are very different compared to  $\text{La}_2\text{O}_3$  especially in the Raman region under the absorption edge.

#### 目的と背景

$\text{SrTiO}_3$  は 3.2eV のバンドギャップを持つ間接遷移型の絶縁体であり、室温では紫外線で励起しても蛍光を示さないが、低温では励起された電子、正孔がそれぞれ自己束縛状態を形成し、その結合により 500nm 近傍で発光する。 $\text{SrTiO}_3$ について  $\text{Sr}^{2+}$  の一部を  $\text{La}^{3+}$  で置換することにより電子ドープした  $\text{SrTiO}_3$  において紫外線などを用いて励起することで、室温でも 430nm 近傍

で発光することを見出した。

本研究は、この電子ドープされた $(\text{Sr},\text{La})\text{TiO}_3$ における La と Ti の電荷および電子状態を、高分解能の発光分光を通して、従来の吸収分光よりもより精密に調べることを目的としている。遷移金属酸化物では d 軌道が不完全に充填された状態であり、電子遷移に対して電子相関の効果が出現すると考えられる。実験として、La と Ti の電荷と電子状態を正確に調べる。ここで

用いている測定法は、入射光のエネルギーがX線領域にあるため、本質的にバルク敏感な測定となり、同じく高エネルギーの入射光を利用した光電子分光と相補的な役割を果たすと期待されている。

## 実験

実験は、高分解能2結晶分光器を使って行われた。Fig. 1に測定系の概略図を示す。分光結晶は、Ge(111)で、 $(+, +)$ 配置をとることにより分解能をあげている。

測定は、 $(\text{Sr}, \text{La})\text{TiO}_3$ のLaとTiをターゲットとして、LaのL<sub>III</sub>とTiのK吸収端付近のエネルギーで行われた。先ず、La L $\alpha$ 線の測定を行い、アナライザーをLa L $\alpha$ 線(Ti K $\alpha_1$ 線)のピーク位置に合わせた状態で、入射エネルギー依存性の測定(partial fluorescence yields, PFY)を行った。これにより高分解能の吸収スペクトルに相当するものが得られる。さらに、吸収端付近で、入射エネルギーを変えながら、La L $\alpha$ 線(Ti K $\alpha_1$ 線)の測定を行った(Resonant Inelastic X-ray Scattering, RIXS)。特に、吸収端より下の入射エネルギーの領域では、Raman散乱を測定することができ、これにより、価数や電子状態の情報を得ることができる。比較のために、 $\text{La}_2\text{O}_3$ と $\text{SrTiO}_3$ に対しても、同様の測定を行った。

## 結果

Fig. 2とFig. 3に測定結果を示す。Fig. 2は

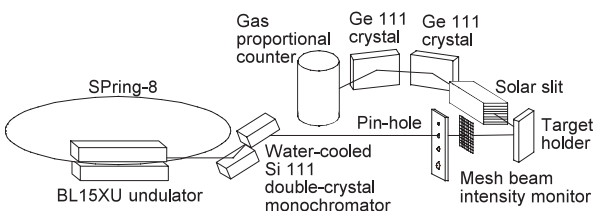


Fig.1 測定系の概略図

$(\text{Sr}, \text{La})\text{TiO}_3$ と $\text{La}_2\text{O}_3$ に対する高分解能PFYの測定結果である。 $\text{La}_2\text{O}_3$ では、Laは3価である。 $(\text{Sr}, \text{La})\text{TiO}_3$ においても、Laは主に3価であることがわかるが、吸収端の立上りの所に $\text{La}_2\text{O}_3$ のLaの電子状態とは異なることを示唆するshoulderが観測された。Fig. 3は、 $(\text{Sr}, \text{La})\text{TiO}_3$ と $\text{La}_2\text{O}_3$ に対するRIXSスペクトルを示している。入射エネルギーに対して、ピーク位置が動かないものは通常の蛍光(fluorescence)によるもので、比例して動くものは、ラマン散乱(非弾性散乱)によるものとなる。吸収端のエネルギー(約5482.7 eV)付近から下の入射エネルギーで、Raman散乱の成分が顕著に見えていることがわかる。吸収端より上では、入射エネルギーとともに蛍光のエネルギー位置がほぼ一定している。 $(\text{Sr}, \text{La})\text{TiO}_3$ と $\text{La}_2\text{O}_3$ とを比べた時、特に、吸収端から下のラマン散乱の領域で顕著な違いが見えている。

## 今後の課題

$(\text{Sr}, \text{La})\text{TiO}_3$ に関しては、今後、光電子分光も行いながら、電子状態を議論していく。

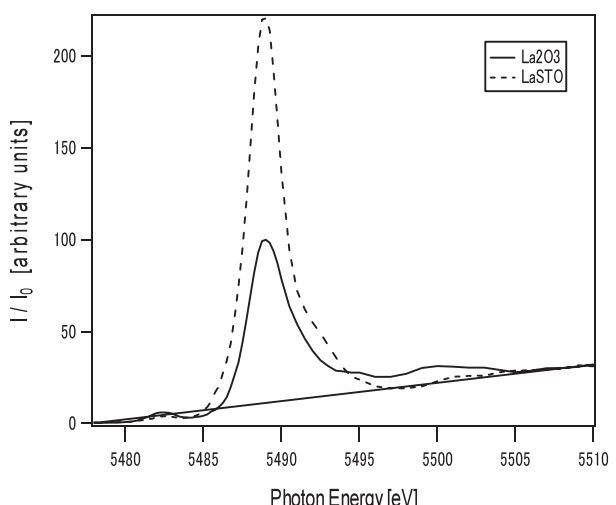


Fig.2  $(\text{Sr}, \text{La})\text{TiO}_3$ と $\text{La}_2\text{O}_3$ に対するPFYの測定結果。

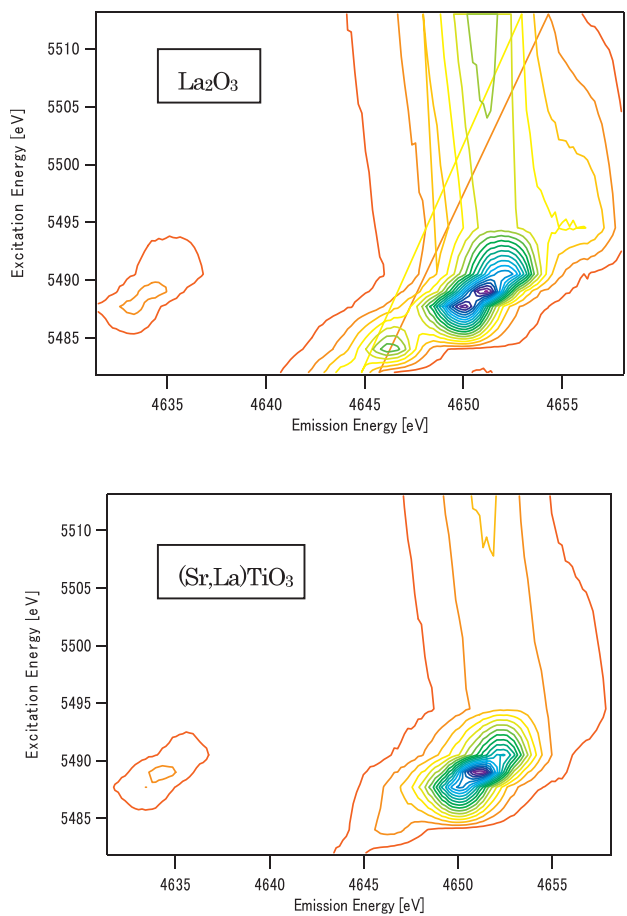


Fig.3 (Sr,La)TiO<sub>3</sub> と La<sub>2</sub>O<sub>3</sub> に対する RIXS の測定結果。

## キーワード

ナノ光材料、遷移金属酸化物、共鳴非弾性 X 線散乱、価数揺動